

doi: 10.13241/j.cnki.pmb.2014.26.012

## Ets-1 在姜黄素抑制心脏纤维化的表达研究

杨蕙宇 潘瑾 李平 唐蕊 向萌

(西安医学院临床医学院内科教研室 陕西 西安 710021)

**摘要 目的:**研究姜黄素的抗增殖作用是否依赖于其对 Ets-1 表达的下调。**方法:**使用 Ets-1 siRNA 对 CFs 细胞 Ets-1 基因进行沉默;Real-time PCR 和 western-blot 法测定各组细胞 Ets-1 mRNA 和蛋白的表达水平。**结果:**在 mRNA 和蛋白水平上,AngII 明显增加 CFs 细胞内 Ets-1 的表达;使用 siRNA 技术对 Ets-1 进行沉默后,随着 Ets-1 表达的降低及转录调节能力的下降,由 AngII 诱导的 CFs 细胞的增殖能力及增殖相关细胞因子分泌减少;姜黄素可以显著降低 AngII 诱导的 Ets-1 表达升高,并具有浓度依赖性 ( $P<0.05$ )。说明姜黄素对 AngII 诱导的 CFs 增殖的抑制作用可能依赖于其对 Ets-1 表达的抑制作用。**结论:**Ets-1 siRNA 对 Ets-1 进行基因沉默后,显示出抗增殖效用;姜黄素能够有效地抑制 AngII 诱导的 CFs 细胞 Ets-1 mRNA 和蛋白的过表达;姜黄素的抗增殖作用可能依赖于其对 Ets-1 基因的表达下调而得以实现的。

**关键词:**Ets-1;姜黄素;血管紧张素-II;纤维化**中图分类号:**Q95-3, R542.23 **文献标识码:**A **文章编号:**1673-6273(2014)26-5045-04

## Curcumin Through Reduced Ets-1 Expression Induced Inhibition of AngII Heart into Fibroblast Proliferation

YANG Hui-yu, PAN Jin, LI Ping, TANG Rui, XIANG Meng

(Department of internal medicine, Clinical Medical College of Xi'an Medical University, Xi'an, Shaanxi, 710021, China)

**ABSTRACT Objective:** To observe the inhibition effect of curcumin (Cur) on AngII-induced over-proliferation and overexpression of CTGF and PAI-1 in CFs and relation between its inhibitory effect and the suppressing expression of Ets-1. **Methods:** Ets-1 were measured by real-time PCR and western-blotting, respectively. After transfected with Ets-1 si-RNA, the cells were incubated with AngII (100 nmol/L) for indicated times. The cell activity was detected by MTT assay and the levels of mRNA and protein of CTGF, PAI-1, Ets-1 were measured by real-time PCR and western-blotting, respectively. **Results:** With the lower expression of Ets-1, the proliferation which were induced by AngII was decreased in CFs cells and the expression of CTGF and PAI-1 also declined. Curcumin can significantly reduced the expression of Ets-1 and the reduction was also concentration-related ( $P<0.05$ ). **Conclusion:** Curcumin significantly inhibits AngII-induced overexpression of Ets-1 in the levels of mRNA and protein in CFs, and Ets-1 siRNA also has the same inhibitory effect as Cur. These results suggested that Cur's anti-fibrotic effect, in part, depends on its inhibitory effect on the overexpression of Ets-1 in AngII-stimulated CFs.

**Key words:** Ets-1; Curcumin; Angiotensin II; Cardiac fibroblast**Chinese Library Classification(CLC):** Q95-3, R542.23 **Document code:** A**Article ID:** 1673-6273(2014)26-5045-04

### 前言

前期研究发现姜黄素能够有效地抑制 AngII 诱导的心脏成纤维细胞过度增殖和 CTGF、PAI-1 mRNA 和蛋白的过表达,从而起到抗增殖的作用。研究表明,结缔组织生长因子(CT-GF)、血小板活化因子-1(PAI-1)等,促进细胞基质的堆积,导致心脏纤维化的形成<sup>[1]</sup>。Ets-1 属于 E26 转录调节因子家族,Ets-1 通过对靶基因表达的调节,可能参与到细胞的增殖、迁移、凋亡、分化、恶变等多个行为学改变过程<sup>[2-4]</sup>。在肝脏中,Ets-1 能够激活肝脏星形细胞,使其分泌 TGF-β 增多而分泌金属基质酶 MMP-1 等减少,导致细胞外基质生成与代谢的失衡,而启

动并加速了肝硬化的进程。抑制 Ets-1 的表达和调节功能,可以显著降低纤维化的程度<sup>[5-8]</sup>。根据我们的实验结果,姜黄素可以有效的抑制 AngII 诱导的 CFs 细胞的增殖。据此,本研究将进一步阐释姜黄素的抗纤维化作用,而这种作用是否通过其对 Ets-1 表达下调作用而得以实现的。

### 1 材料与方法

#### 1.1 实验动物和试剂

出生 1-2 日的 S-D 大鼠,雌雄不限,由西安交通大学医学院实验动物中心提供。姜黄素粉末纯品购于美国 Sigma 公司。

#### 1.2 研究方法

1.2.1 心脏成纤维细胞原代培养 选择出生 1~2 天的 S-D 大鼠乳鼠 15 只,分离心脏组织,4°C D-Hanks 中反复漂洗,摘取左心室部分,约 1-2 mm<sup>3</sup> 大小的组织块,用 5 g/L 的胰酶对其消化;

作者简介:杨蕙宇(1984-),女,硕士,助教,从事心内科方面的研究,E-mail:yhy\_2005@126.com

(收稿日期:2014-03-18 接受日期:2014-04-12)

采用差速贴壁的方法分离心脏成纤维细胞。使用3-7代的细胞进行实验并使用倒置显微镜对原代培养细胞进行鉴定;免疫组织化学法检测。

**1.2.2 姜黄素溶液配制** 姜黄素粉末纯品购于美国Sigma公司。使用DMSO溶解,制成10 mmol/L保存浓度,放置于-20℃冰箱内长期储存。使用时候再稀释成相应浓度。

**1.2.3 荧光定量PCR(real-time PCR)反应** 引物设计:依据GenBank提供的大鼠Ets-1和甘油醛-3-磷酸脱氢酶(GAPDH)的核酸序列,使用Desiner v4.0进行引物设计,由南京金丝瑞生物有限公司合成。引物序列:Ets-1forward 5'-TGAT-GTTGAGGGCTGTGAATGAG-3';reverse 5'-TGAAGTAATC-CGAGGTGTAACG-3' GAPDH引物序列,5'-ATGCAGGGAT-GATGTTCTGG-3'。用上述引物进行PCR,95℃,5 min 95℃,15 s 55℃,15 s 72℃,30 s 35个循环。

**1.2.4 蛋白免疫印迹实验(Western-blot)** 总蛋白提取蛋白浓度测定SDS-PAGE电泳、制胶、加样和电泳、转膜电泳结束后,一抗孵育,4℃孵育过夜。二抗孵育 使用TBST对PVDF膜进行清洗,每次8 min,共4次。配制相应二抗(1:2000),室温下孵育2 h。化学发光 使用Quantity One图像分析软件,对胶片进行灰度扫描,以control为对照,其他各组灰度按照control

组倍数进行统计。

**1.2.5 siRAN转染CFs细胞** 实验分组 依据干预措施不同,将细胞分为4组:control组,AngII组,AngII+NC siRNA和AngI-I+Ets-1 siRNA。Ets-1 siRNA转染CFs细胞,将细胞按照 $1 \times 10^6$ 的密度接种于6孔板中,待生长至融合约50%-60%密度时候,准备进行转染。按照干预方式的不同,将Ets-1 siRNA、NC siRNA、FAM siRNA加入相应的空中。转染6 h后,观察细胞内荧光强度。CFs细胞内显示均匀分布的绿色荧光提示转染成功。转染后24 h,将培养基换为含AngII(100 nM)的高糖DMEM培养基,继续培养6 h或者24 h,real-time PCR、western-blotting法检测Ets-1 mRNA和蛋白的表达。

**1.2.6 统计学分析** 采用SPSS20.0统计软件,Ets-1组与对照组进行方差分析,P<0.05表示差异具有统计学意义。

## 2 结果

**2.1 Ets-1 siRNA对CFs细胞增殖能力和CTGF、PAI-1表达的影响**

结果显示:同AngII组相比,Ets-1 siRNA可以有效的抑制AngII诱导的CFs细胞增殖( $P<0.01$ ),NC-siRNA与对照组相比,未显示统计学差异,见图1。

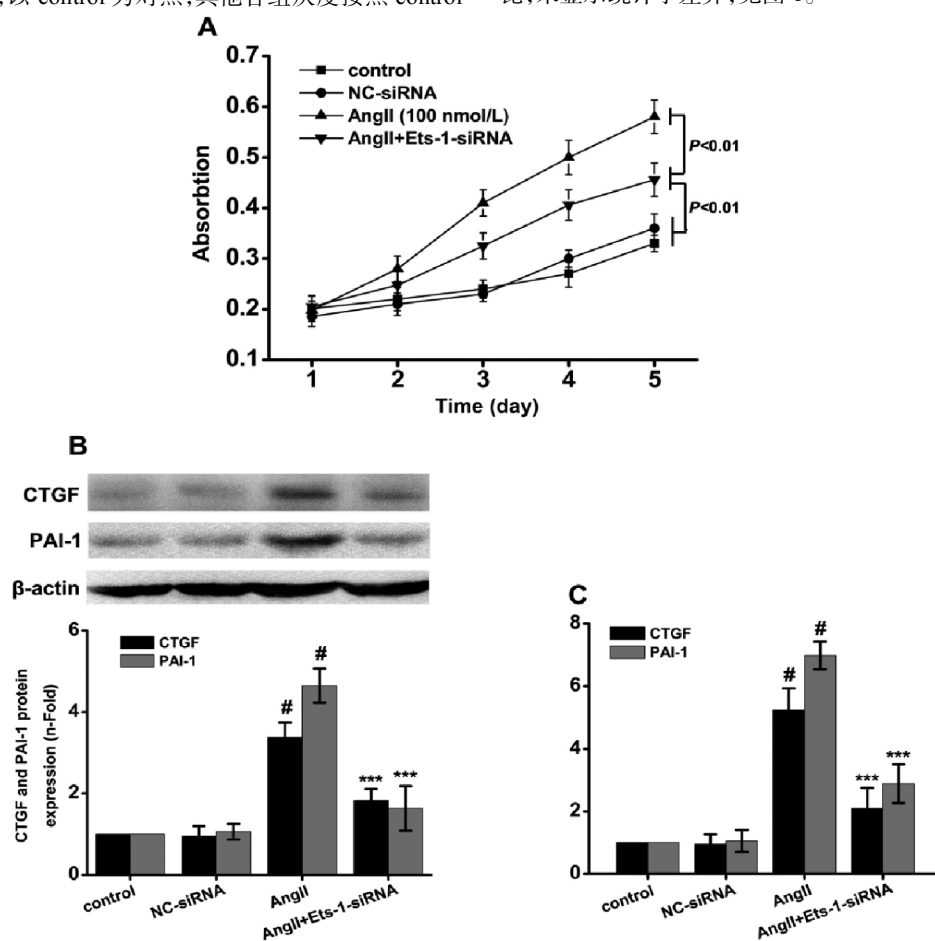


图1 Ets-1-siRNA对AngII诱导的CFs细胞增殖能力和CTGF、PAI-1表达的影响。(A)Ets-1-siRNA对AngII诱导的CFs细胞增殖能力的影响。(B)Ets-1-siRNA对AngII诱导的CFs细胞CTGF和PAI-1 mRNA表达的影响。(C)Ets-1-siRNA对AngII诱导的CFs细胞CTGF和PAI-1蛋白表达的影响。数据采用3次独立实验结果的均值

Fig. 1 Inhibitory effects of Ets-1-siRNA on proliferation and overexpression of CTGF and PAI-1 in AngII-stimulated CFs. (A) Inhibitory effects of Ets-1-siRNA on proliferation in AngII-stimulated CFs. (B) Inhibitory effects of Ets-1-siRNA on mRNA expression of CTGF and PAI-1 in AngII-stimulated CFs. (C) Inhibitory effects of Ets-1-siRNA on protein expression of CTGF and PAI-1 in AngII-stimulated CFs.

注:同control组相比, $*P<0.001$ ;同AngII组相比, $**P<0.01$ 和 $***P<0.001$

Note: $*P<0.001$  vs control;  $**P<0.01$  and  $***P<0.001$  vs AngII

## 2.2 不同浓度姜黄素对 CFs 细胞 Ets-1 表达的影响

Ets-1 通过与靶基因上游的特殊位点结合后, 上调增殖相关基因的表达, 促进 CFs 细胞增殖和 PAI-1、CTGF、胶原等致纤因子的分泌。因此, 有理由认为减少 Ets-1 的表达及核转位能够起到 CFs 细胞的抗增殖作用。使用(5, 10, 30 μmol/L)姜黄素

对 CFs 细胞预处理 1 h, 在给与 AngII( $10^{-6}$  mol/L)刺激 6 h 和 24 h。结果提示, 在 mRNA 和蛋白水平上, AngII 明显增加 CFs 细胞内 Ets-1 的表达; 姜黄素可以显著降低 AngII 诱导的 Ets-1 表达升高, 并具有浓度依赖性( $P<0.05$ ), 见图 2。

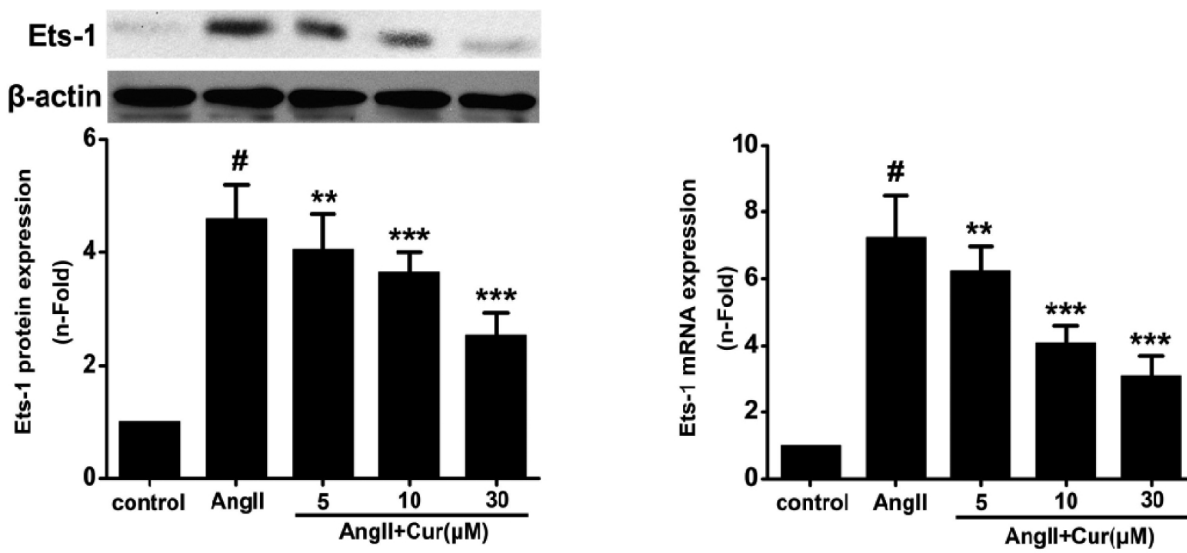


图 2 不同浓度姜黄素对 CFs 细胞 Ets-1 表达的影响

Fig. 2 Inhibitory effects of Cur on the mRNA and protein expression of Ets-1 in AngII-induced CFs.

注: 同 control 组相比, \* $P<0.001$ ; 同 AngII 组相比, \*\* $P<0.01$  and \*\*\* $P<0.001$ 。

Note: \* $P<0.001$  vs control; \*\* $P<0.01$  and \*\*\* $P<0.001$  vs AngII.

## 3 讨论

Ets-1 属于 E26 转录调节因子家族, 不仅具有靶基因调节功能, 同时也是一种原癌基因<sup>[9-11]</sup>。Ets-1 是一种进化高度保守的转录调节因子, 从低等生物到人类, Ets-1 对包括平滑肌细胞、上皮细胞、心肌细胞在内的多种细胞的功能都具有调节作用<sup>[12-14]</sup>。Ets-1 通过对靶基因表达的调节, 可能参与到细胞的增殖、迁移、凋亡、分化、恶变等多个行为学改变过程<sup>[15, 16]</sup>。包括心脏纤维化在内的多种器官的纤维化过程, 均表现为成纤维细胞的过度增殖和 ECM 的病理性堆积。因此, 成纤维细胞增殖和 ECM 分泌的调控机制成为抗纤维化研究的热点。给与星状细胞 TGF-β 或者乙醇刺激后, 星状细胞增殖能力和胶原分泌水平明显增高, 同时伴有促分裂素原活化蛋白激酶(MAPK)传导通路的磷酸化水平和 Ets-1 的表达显著升高。给与 MAPK 通路抑制剂后, 可以显著抑制 TGF-β 或者乙醇诱导的星状细胞增殖和胶原过分泌, 同时伴有 Ets-1 表达的下调<sup>[17, 18]</sup>。在心血管系统, 对于 AngII 诱发的血管纤维化<sup>[19]</sup>, 较之普通小鼠, Ets-1 基因敲除小鼠的血管平滑肌细胞增殖能力显著降低, CTGF、胶原等纤维化因子明显减少, 整体纤维化程度较低。在我们之前的实验中发现, 使用 siRNA 对 Ets-1 进行基因沉默后, 可以显著抑制 AngII 诱导的 CFs 细胞增殖和 CTGF、PAI-1 的过表达。据此, 我们有理由认为, 抑制 Ets-1 的表达、降低其基因调节功能, 可能是一个抑制 AngII 诱导的心脏纤维化的治疗靶点<sup>[20]</sup>。

如前述, 抑制 Ets-1 的表达和调节功能, 可以显著降低纤维

化的程度。Ziming Yu 等发现, 姜黄素可以下调子宫内膜癌 HEC-1-A 细胞 Ets-1 的表达, 从而起到抑制癌细胞增殖的作用。根据我们的实验结果, 姜黄素可以有效的抑制 AngII 诱导的 CFs 细胞的增殖。据此, 我们为了进一步阐释姜黄素的抗纤维化作用, 将姜黄素对 Ets-1 表达的调节作为研究的重要环节。给与姜黄素预处理后, 可以显著抑制 AngII 诱导的 CFs 细胞增殖和 CTGF、PAI-1 的过表达, 提示姜黄素的抗纤作用可能与 Ets-1 表达下调有关。为了进一步说明两者的关系, 我们使用 Ets-1 特异性 siRNA 对 Ets-1 基因进行沉默, 取得了与姜黄素相似的实验结果。以上结果进一步证明, 姜黄素能够抑制 AngII 诱导的 CFs 增殖和 CTGF、PAI-1 的过表达, 这种作用是通过其对 Ets-1 表达下调作用而得以实现的。

## 参考文献(References)

- [1] Brigstock, et al. Regulation of angiogenesis and endothelial cell function by connective tissue growth factor (CTGF) and cysteine-rich 61[J]. Angiogenesis, 2002, 5(2): 153-165
- [2] Verschoor ML, Singh G. Ets-1 regulates intracellular glutathione levels: key target for resistant ovarian cancer [J]. Mol Cancer, 2013, 12(1): 138
- [3] Wan SM, Peng P, Guan T. Ets-1 regulates its target genes mainly by DNA methylation in human ovarian cancer [J]. J Obstet Gynaecol, 2013, 33(8): 877-881
- [4] Ren QJ, Li XP, Tao JH, et al. Role of transcription factor ETS-1 and B cell in the pathogenesis of systemic lupus erythematosus [J]. National Medical Journal of China, 2013, 93(31): 2483-2486

- [5] Knittel T, Kobold D, Dudas J, et al. Role of the Ets-1 transcription factor during activation of rat hepatic stellate cells in culture[J]. Am J Pathol, 1999, 155(1): 1841-1849
- [6] Znoyko I, Trojanowska M, Reuben A. Collagen binding alpha2beta1 and alpha1beta1 integrins play contrasting roles in regulation of Ets-1 expression in human liver myofibroblasts[J]. Mol Cell Biochem, 2006, 282(1-2): 89-99
- [7] Ozaki I, Mizuta T, Zhao G, et al. Induction of multiple matrix metalloproteinase genes in human hepatocellular carcinoma by hepatocyte growth factor via a transcription factor Ets-1 [J]. Hepatol Res, 2003, 27(4): 289-301
- [8] Mouly E, Chemin K, Nguyen HV, et al. The Ets-1 transcription factor controls the development and function of natural regulatory T cells[J]. J Exp Med, 2010, 207(10): 2113-2125
- [9] Barembaum M, Bronner ME. Identification and dissection of a key enhancer mediating cranial neural crest specific expression of transcription factor, Ets-1[J]. Dev Biol, 2013, 382(2): 567-575
- [10] Jantaratnotai N, Ling A, Cheng J, et al. Upregulation and expression patterns of the angiogenic transcription factor ets-1 in Alzheimer's disease brain[J]. J Alzheimers Dis, 2013, 37(2): 367-377
- [11] Lee KH, Koh SA, Kim JR. Hepatocyte growth factor-mediated gastrin-releasing peptide induces IL-8 expression through Ets-1 in gastric cancer cells[J]. Oncol Res, 2013, 20(9): 393-402
- [12] Kato M, Dang V, Wang M, et al. TGF- $\beta$  induces acetylation of chromatin and of Ets-1 to alleviate repression of miR-192 in diabetic nephropathy[J]. Sci Signal, 2013, 6(278): ra43
- [13] Dong Z. Acetylation of Ets-1 is the key to chromatin remodeling for miR-192 expression[J]. Sci Signal, 2013, 6(278): pe21
- [14] Evangelista AM, Deschamps AM, Liu D, et al. miR-222 contributes to sex-dimorphic cardiac eNOS expression via ets-1 [J]. Physiol Genomics, 2013, 45(12): 493-498
- [15] Mizui M, Isaka Y, Takabatake Y, et al. Transcription factor Ets-1 is essential for mesangial matrix remodeling[J]. Kidney Int, 2006, 70(2): 298-305
- [16] Czuwara-Ladykowska J, Shirasaki F, Jackers P, et al. Fli-1 inhibits collagen type I production in dermal fibroblasts via a Sp1-dependent pathway[J]. Biol Chem, 2001, 276(24): 20839-20848
- [17] Li JC, Lau AS. A role for mitogen-activated protein kinase and Ets-1 in the induction of interleukin-10 transcription by human immunodeficiency virus-1 Tat[J]. Immunology, 2007, 121(3): 337-348
- [18] Liu S, Liang Y, Huang H, et al. ERK-dependent signaling pathway and transcriptional factor Ets-1 regulate matrix metalloproteinase-9 production in transforming growth factor-beta1 stimulated glomerular podocytes[J]. Cell Physiol Biochem, 2005, 16(4-6): 207-216
- [19] Abrahamsen CT, Pullen MA, Schnackenberg CG, et al. Effects of angiotensins II and IV on blood pressure, renal function, and PAI-1 expression in the heart and kidney of the rat [J]. Pharmacology, 2003, 66(2): 26-30
- [20] Kosaka T, Miyajima A, Shirotake S, et al. Ets-1 and hypoxia inducible factor-1alpha inhibition by angiotensin II type-1 receptor blockade in hormone-refractory prostate cancer[J]. Prostate, 2010, 70(2): 162-169

(上接第 5041 页)

- [15] Javeed Iqbal, Paul N. Meyer, Lynette M. Smith, et al. BCL2 Predicts Survival in Germinal Center B-cell-like Diffuse Large B-cell Lymphoma Treated with CHOP-like Therapy and Rituximab[J]. Clin Cancer Res, 2011, 17: 7785-7795
- [16] Shen J, Chen X, Hendershot L, et al. ER stress regulation of ATF6 localization by dissociation of BiP/GRP78 binding and unmasking of Golgi localization signals[J]. Dev Cell, 2002, 3: 99-111
- [17] Liu XA, Song J, Jiang Q, et al. Expression of the hyperphosphorylated tau attenuates ER stress-induced apoptosis with upregulation of unfolded protein response[J]. Apoptosis, 2012, 17: 1039-1049
- [18] Tabas I, Ron D. Integrating the mechanisms of apoptosis induced by endoplasmic reticulum stress[J]. Nat Cell Biol, 2011, 13: 184-190
- [19] L E Dalton, H J Clarke, J Knight, et al. The endoplasmic reticulum stress marker CHOP predicts survival in malignant mesothelioma[J]. British Journal of Cancer, 2013, 108: 1340-1347
- [20] Yokoyama M. Oxidant stress and atherosclerosis [J]. Current Opin Pharm col, 2004, 4: 110-119
- [21] Xu Z R, Hu L, Cheng L F, et al. Dihydmtostemne protects human vascular endothelial cells from H<sub>2</sub>O<sub>2</sub>-induced apoptosis through inhibition of caspase-3,caspase-9 and p38 MAPK [J]. Eur J Pharmcol, 2010, 643: 254-259
- [22] Taniyama Y, Grindling KK. Reactive oxygen species in the vasculature molecular and cellular mechanisms[J]. Hypertension, 2003, 42: 1075-1081